

# Approximation de flots géométriques d'interfaces : des méthodes de champ de phase aux réseaux de neurones

Simon Masnou

Institut Camille Jordan  
Université Claude Bernard Lyon 1

SMAI 2021  
10e biennale des mathématiques appliquées et industrielles  
La Grande-Motte

# Travaux en collaboration avec

- [Elie Bretin](#) (Institut Camille Jordan, INSA Lyon)

et

- [Roland Denis](#) (Institut Camille Jordan, CNRS)
- [Chih-Kang Huang](#) (Institut Camille Jordan, Univ. Claude Bernard Lyon 1)
- [Arnaud Sengers](#) (Institut Camille Jordan, INSA Lyon)
- [Garry Terii](#) (Institut Camille Jordan, Univ. Claude Bernard Lyon 1)
- [François Dayrens](#) (Institut Camille Jordan, Univ. Claude Bernard Lyon 1)

# Motivation

Many physical systems or engineering models involve **interfaces** which tend to minimize a **geometric energy**, involving either the **area** or the **curvatures** of interfaces (under various constraints)

We are interested in the **numerical simulation** of such systems.

## Examples: Wetting

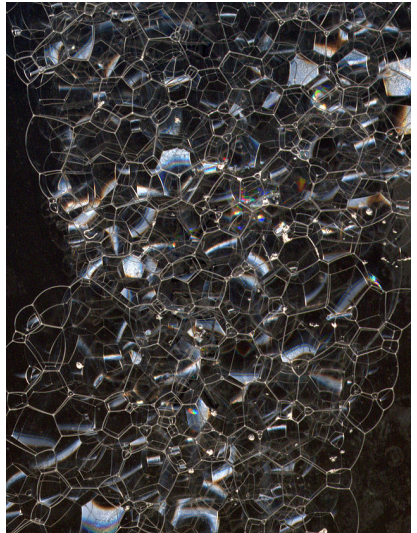


Droplet wetting on a lotus leaf  
(energy = **area**)

# Bubbles



Bubbles



Soap foam

(energy = **multiphase area**)

# Honeycomb

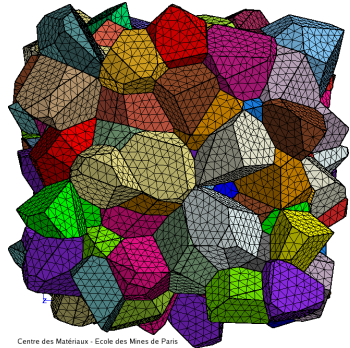


Honeycomb  
(energy = 2D multiphase perimeter)

# Polycrystalline materials



Silicon

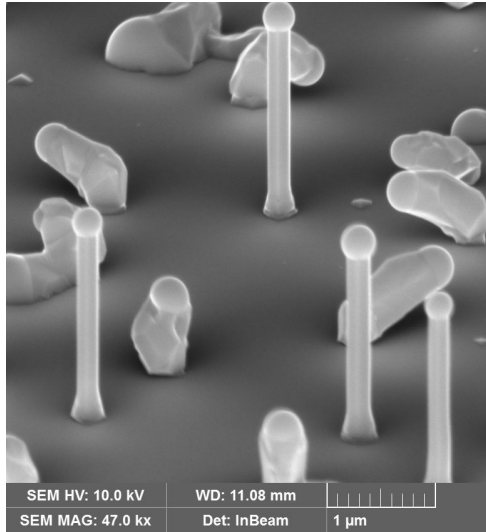


Polycrystalline material

(energy=multiphase inhomogenous area)

$$E(\Sigma_1, \dots, \Sigma_N) = \frac{1}{2} \sum_{i,j=1}^N \sigma_{i,j} \text{Area}(\partial\Sigma_i \cap \partial\Sigma_j) \quad (\sigma_{i,j} \text{ are surface tensions})$$

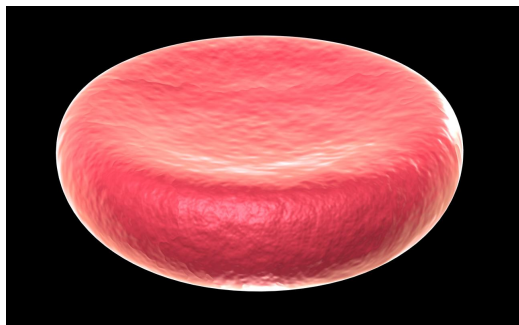
# Nanowires



Nanowires

(energy = multiphase anisotropic area)

## Lipid bilayer



Blood cell

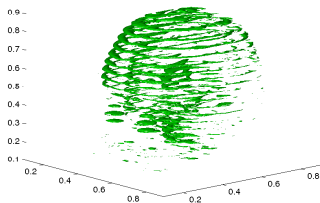
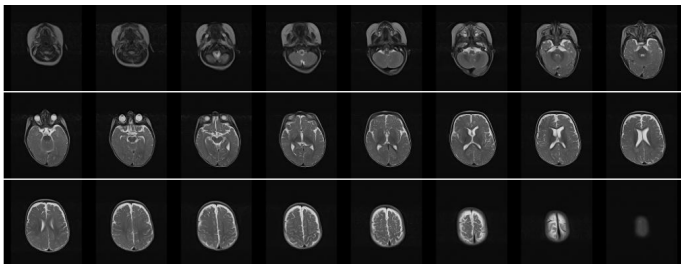
$$\text{(energy = Helfrich energy } \int (\frac{\kappa}{2}(H - H_0)^2 + \kappa_G K) d\sigma \text{)}$$

with  $H$  = mean curvature,  $H_0$  = spontaneous curvature and  
 $K$  = Gaussian curvature

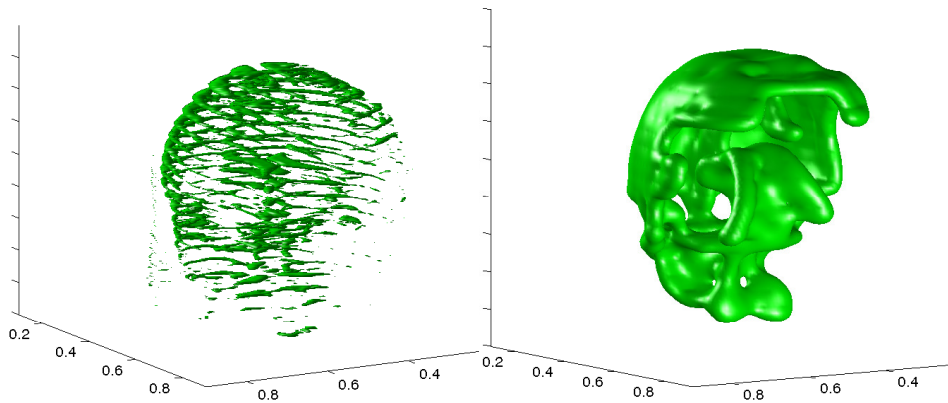
$$W(S) = \int H^2 d\sigma \quad (- \int K d\sigma) \quad \text{is the Willmore energy.}$$

# Magnetic Resonance Imaging (MRI)

**Problem:** find a **volume** containing **given slices** and having boundary of **minimal energy** (area or Willmore)



## 3D reconstruction from 2D slices



Reconstruction of a 3D brain image from real MRI slices

# How to approximate the minimizers?

Pick a **representation** of the surface:

- Parametric "continuous" surface or graph surface
- Level set
- Phase field approximation

and try to **minimize** the energy, or an approximation of it using either:

- graph methods (e.g, min flow/max cut)
- a static Euler equation
- a time-dependent Euler equation

This talk focuses on **phase field approximation** and time-dependent Euler equations

## Énergie d'interface de Van der Waals, Cahn & Hilliard

- Van der Waals (1893) : énergie libre d'une interface liquide-vapeur
- Cahn & Hilliard (1958) : séparation des phases dans un mélange binaire

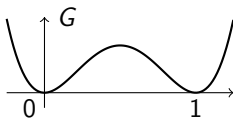
"phase" = composant d'un système inhomogène (ex : eau / huile)  
ou fraction volumique de ce composant

Hypothèse commune à Van der Waals, Cahn & Hilliard : on ne passe pas brutalement d'un composant à un autre, la transition est régulière, l'interface est diffuse.

### Énergie de (Van der Waals)-Cahn-Hilliard

$$P_\varepsilon(u) = \int \left( \frac{\varepsilon}{2} |\nabla u|^2 + \frac{1}{\varepsilon} G(u) \right) dx$$

où  $u$  est la fraction volumique d'un des composants  
et  $G(s) = \frac{1}{2}s^2(1-s)^2$  est un potentiel double-puits.

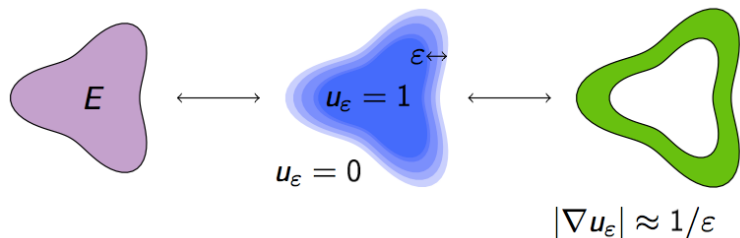


# Phase field approximation

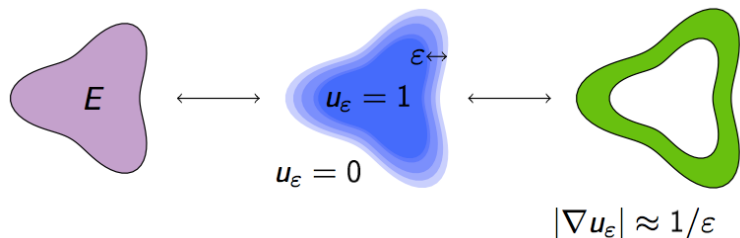
A phase field  $u_\varepsilon : \mathbb{R}^d \rightarrow [0, 1]$  is a **smooth function** which approximates the **characteristic function**  $\mathbb{1}_E$  of a set  $E$ .

The set  $\{u_\varepsilon = \frac{1}{2}\}$  is an approximation of the boundary  $\partial E$ .

The area of  $\partial E$  is **the perimeter of  $E$** .



## Perimeter approximation



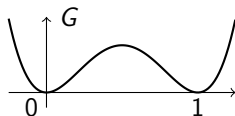
Thus,  $\int \epsilon |\nabla u_\epsilon|^2 dx \approx \frac{1}{\epsilon} \text{Area} \approx \frac{1}{\epsilon} \epsilon P(E) = P(E)$  as  $\epsilon \rightarrow 0$ .

Minimizing  $\int \epsilon |\nabla u_\epsilon|^2 dx$  is **not a good idea**: any constant function has zero energy...

How to constrain minimizers to be **close to a characteristic function**?

## Perimeter approximation

Use a **double-well potential**, for instance  $G(s) = \frac{1}{2}s^2(1-s)^2$ .



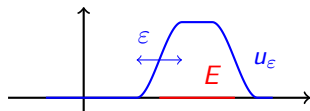
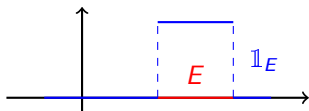
If  $\sup_{\varepsilon} \left( \int \frac{1}{\varepsilon} G(u_{\varepsilon}) dx \right) < +\infty$  then  $u_{\varepsilon} \rightarrow 0$  or  $1$  a.e. as  $\varepsilon \rightarrow 0$ , i.e.  $u_{\varepsilon}$  approximates a characteristic function.

# The Cahn-Hilliard functional

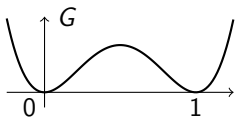
## (Van der Waals)-Cahn-Hilliard energy

The phase-field approximation of perimeter is

$$P_\varepsilon(u) = \int \left( \frac{\varepsilon}{2} |\nabla u|^2 + \frac{1}{\varepsilon} G(u) \right) dx$$



where  $G$  is a double-well potential.



e.g.,

$$G(s) = \frac{1}{2} s^2 (1-s)^2$$

# Phase-field approximation of perimeter

Convergence of  $P_\varepsilon$  (Modica, Mortola - 1977)

$P_\varepsilon$   $\Gamma$ -converges to

$$P(u) = \begin{cases} \lambda P(E) & \text{si } u = \mathbb{1}_E \in BV \\ +\infty & \text{otherwise} \end{cases}$$

where  $\lambda = \text{cst}$  depends only on potential  $G$ .

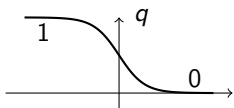
## $\Gamma$ -convergence and minimizers

Let  $(F_n)$  equicoercive,  $\Gamma$ -converging to  $F$ . If,  $\forall n$ ,  $u_n$  is a **minimizer** of  $F_n$ , then every cluster point  $u$  of  $(u_n)$  is a **minimizer of  $F$**  and  $F(u) = \lim F_n(u_n)$ .

## Optimal profile

The phase-field **optimal profile** associated with  $E$  and  $P(E)$  is:

$$u_\varepsilon(x) = q\left(\frac{d_s(x, E)}{\varepsilon}\right) \quad \text{with} \quad q(s) = \frac{1}{2}(1 - \tanh(\frac{s}{2}))$$



Signed distance

$$d_s(x, E) = d(x, E) - d(x, \mathbb{R}^N \setminus E)$$

where  $q = \operatorname{argmin}_\varphi \left\{ \int_{\mathbb{R}} \left[ \frac{|\varphi'(t)|^2}{2} + G(\varphi(t)) \right] dt, \varphi(-\infty) = 1, \varphi(\infty) = 0 \right\}$

## Convergences

For a bounded set  $E$

- $u_\varepsilon \rightarrow \mathbb{1}_E$
- $P_\varepsilon(u_\varepsilon) \rightarrow \lambda P(E)$  if  $E$  has finite perimeter

as  $\varepsilon \rightarrow 0$ .

# Phase field approximation of the Willmore energy

The  $L^2$ -gradient of  $P_\varepsilon$  satisfies

$$-\nabla_{L^2} P_\varepsilon(u) = \varepsilon \Delta u - \frac{1}{\varepsilon} G'(u).$$

The **gradient flow** of perimeter is the **mean curvature flow** and  $-\nabla_{L^2} P_\varepsilon(u_\varepsilon)$  approximates the mean curvature of  $\partial E$  in the **transition zone** of  $u_\varepsilon$  when  $u_\varepsilon \approx \mathbb{1}_E$ .

## Approximation of the Willmore energy

In  $\mathbb{R}^2$  and  $\mathbb{R}^3$ , the energy

$$u \mapsto P_\varepsilon(u) + W_\varepsilon(u) = P_\varepsilon(u) + \int \frac{1}{2\varepsilon} \left( \varepsilon \Delta u - \frac{1}{\varepsilon} G'(u) \right)^2 dx$$

$\Gamma$ -converges to  $E \mapsto \lambda(P(E) + W(E))$  if  $E$  is  $C^2$  and compact

- De Giorgi + Bellettini, Paolini (1993) + Röger, Schätzle (2006)

## Optimal profile

With the same phase-field **profile** associated with  $E$

$$u_\varepsilon(x) = q \left( \frac{1}{\varepsilon} d_s(x, E) \right)$$

one has

### Convergences

For a bounded set  $E$

- $u_\varepsilon \rightarrow \mathbb{1}_E$
- $P_\varepsilon(u_\varepsilon) \rightarrow \lambda P(E)$  if  $E$  has finite perimeter
- $W_\varepsilon(u_\varepsilon) \rightarrow \lambda W(E)$  if  $\partial E$  is  $C^2$

as  $\varepsilon \rightarrow 0$ .

## Phase field mean curvature flow: numerical approximation

The  $L^2$ -gradient flow of the Cahn-Hilliard energy gives the time-dependent **Allen-Cahn equation**:

$$u_t = \Delta u - \frac{1}{\varepsilon^2} G'(u)$$

Given a time-step  $\delta_t$ , solutions can be numerically approximated with the scheme

$$\frac{u^{n+1} - u^n}{\delta_t} = \Delta u^{n+1} - \frac{1}{\varepsilon^2} G'(u^{n+1})$$

$u^{n+1}$  can be computed using Picard iterations to find fixed points of the map

$$v \mapsto (I_d - \delta_t \Delta)^{-1} \left[ \left( u^n - \frac{\delta_t}{\varepsilon^2} G'(v) \right) \right]$$

Implementation with Fourier series and periodic boundary conditions, which guarantees a **high spatial accuracy**.

Video: Allen-Cahn flow

# Phase field Willmore flow: numerical approximation

- The classical phase field Willmore flow is

$$\begin{cases} \partial_t u = \Delta v - \frac{1}{\varepsilon^2} G''(u)v \\ v = \frac{1}{\varepsilon^2} G'(u) - \Delta u. \end{cases}$$

- Implicit discretization in time

$$\begin{cases} u^{n+1} = \delta_t [\Delta v^{n+1} - \frac{1}{\varepsilon^2} G''(u^{n+1})v^{n+1}] + u^n \\ v^{n+1} = \frac{1}{\varepsilon^2} G'(u^{n+1}) - \Delta u^{n+1}, \end{cases}$$

- Use Picard iterations for approximating a fixed point of:

$$\begin{pmatrix} u \\ v \end{pmatrix} = \begin{pmatrix} I_d & -\delta_t \Delta \\ \Delta & I_d \end{pmatrix}^{-1} \begin{pmatrix} u^n - \frac{\delta_t}{\varepsilon^2} G''(u)v \\ \frac{1}{\varepsilon^2} G'(u) \end{pmatrix}$$

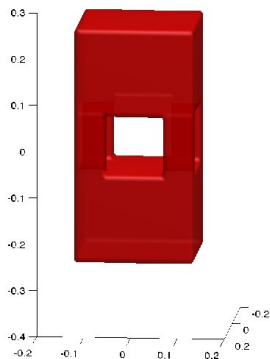
Implement it with Fourier series in space.

- Stability :

$$\delta_t \leq C \min \{ \varepsilon^4, \delta_x^2 \varepsilon^2 \}.$$

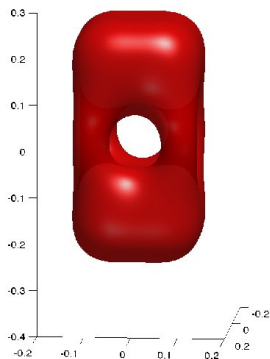
## Phase field Willmore flow

$$\partial_t u = -\Delta \left( \Delta u - \frac{1}{\varepsilon^2} G'(u) \right) + \frac{1}{\varepsilon^2} G''(u) \left( \Delta u - \frac{1}{\varepsilon^2} G'(u) \right),$$



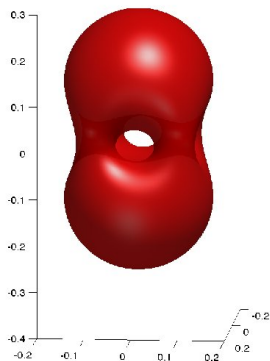
## Phase field Willmore flow

$$\partial_t u = -\Delta \left( \Delta u - \frac{1}{\varepsilon^2} G'(u) \right) + \frac{1}{\varepsilon^2} G''(u) \left( \Delta u - \frac{1}{\varepsilon^2} G'(u) \right),$$



## Phase field Willmore flow

$$\partial_t u = -\Delta \left( \Delta u - \frac{1}{\varepsilon^2} G'(u) \right) + \frac{1}{\varepsilon^2} G''(u) \left( \Delta u - \frac{1}{\varepsilon^2} G'(u) \right),$$



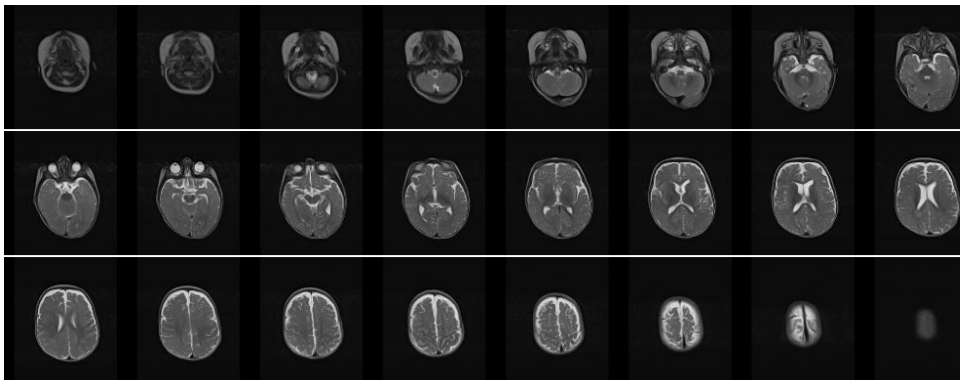
Lawson-Kusner surface of genus 4

# Key aspects of phase field approximation

- Replace **singular** energies with **smooth** energies
- $\Gamma$ -convergence can be proven
  - 1 for area: Modica-Mortola'77
  - 2 for Willmore 2D, 3D: De Giorgi'91 Bellettini-Paolini'93, Röger-Schätzle'06, Nagase-Tonegawa'07
- **Smooth minimizers** approximate **sharp minimizers**
- **Efficient numerical schemes** can be designed
- **Do phase field flows approximate sharp flows?** (as long as they are smooth)
  - 1 for area: well-posedness, convergence  $\rightarrow$  **YES** [Chen'92, de Mottini-Schatzman'95, Bellettini-Paolini'95]
  - 2 for Willmore:
    - ★ well-posedness (**YES** [Colli-Laurençot'12], [Bretin-Huang-M.'19]),
    - ★ convergence (**formally YES** [Loreti-March'00, Bretin-M.-Oudet'17], **rigorously YES** [Fei-Liu'19])Willmore flow:  $V_n = \Delta_S H + |A|^2 H - \frac{1}{2} H^3$  where  $|A|^2 = \sum \kappa_i^2$ .

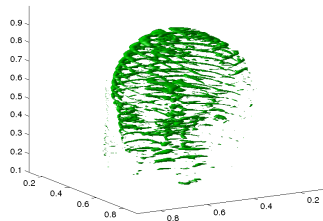
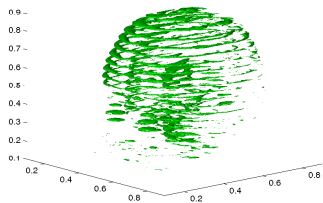
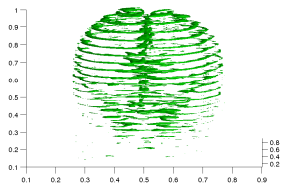
# Application 1 : reconstruction de volume sous contrainte de coupes

Collaboration avec E. Bretin et F. Dayrens

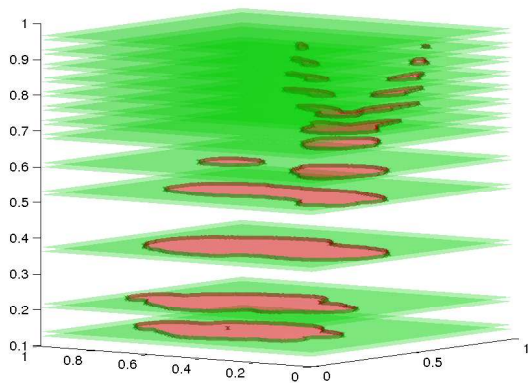
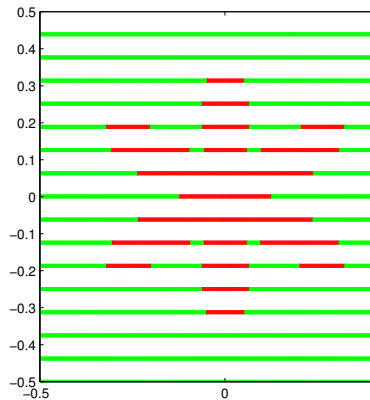


Problème récurrent en **imagerie médicale** (IRM, tomographie) et en **géométrie computationnelle** : comment reconstruire un volume à partir de coupes (ou plus généralement à partir de données partielles) ?

# Motivation



# Formulation avec contraintes **intérieures** / **extérieures**



# Contraintes d'inclusion-exclusion

Soit  $\omega^{int}$  et  $\omega^{ext}$  deux ensembles de  $\mathbb{R}^N$

## Problème d'optimisation géométrique

$$\min\{J(E) \mid \omega^{int} \subset E \subset \mathbb{R}^N \setminus \omega^{ext}\}$$

où  $J$  est soit le périmètre  $P$ , soit l'énergie de Willmore  $W$

On définit des **contraintes d'obstacle** :

$$u_\varepsilon^{int}(x) = q \left( \frac{1}{\varepsilon} d_s(x, \omega^{int}) \right) \quad \text{et} \quad u_\varepsilon^{ext}(x) = 1 - q \left( \frac{1}{\varepsilon} d_s(x, \omega^{ext}) \right)$$

## Propriété clef

$$\omega^{int} \subset E \subset \mathbb{R}^N \setminus \omega^{ext} \quad \iff \quad u_\varepsilon^{int} \leq u_\varepsilon \leq u_\varepsilon^{ext}$$

Dans l'approximation champ de phase, les contraintes se traduisent en un **problème d'obstacle linéaire** !

# Schéma numérique pour le périmètre

## Approximation de la solution du problème

$$\min\{P_\varepsilon(u) \mid u_\varepsilon^{int} \leq u \leq u_\varepsilon^{ext}\}$$

- On initialise  $u_0$ ;
- Connaissant  $u^n$  on trouve  $u^{n+1/2}$  par une méthode de splitting pour réaliser un pas du **flot gradient**  $L^2$  de  $P_\varepsilon$

$$\partial_t u = \varepsilon \Delta u - \frac{1}{\varepsilon} G'(u) \quad (\text{équation d'Allen-Cahn})$$

- On obtient  $u^{n+1}$  à partir de  $u^{n+1/2}$  en **projetant** sur les contraintes

$$u_\varepsilon^{int} \leq u \leq u_\varepsilon^{ext}$$

## Code matlab

```
1 %%%%%%%%%%% Parameters %%%%%%%%%%%
2 - epsilon = 2/N;
3 - T =1;
4 - delta_t = 1/N^2;
5 %%%%%%%%%%% Heat Kernel %%%%%%%%%%%
6 - K1 = ones(N,1)*[0:N/2,-N/2+1:-1];
7 - M = 1./(1+4*pi^2*delta_t*(K1.^2 + K1'.^2));
8 %%%%%%%%%%% Minimization scheme %%%%%%%%%%%
9 - for n=1:T/delta_t,
10 -     U = U1_0;
11 -     U1_0_fourier = fft2(U1_0);
12 -     res = 1;
13
14 %%%%%%%%%%% fixed point iteration %%%%%%%%%%%
15 - while res > 10^(-4),
16 -     U_plus = ifft2( M.*(U1_0_fourier - delta_t/epsilon^2*fft2(U.*(U-1).*(2*U-1))));
17 -     U_plus = max(min(1-U2,U_plus),U1);
18 -     res = norm((U_plus-U));
19 -     U = U_plus;
20 -     end
21 -     U1_0 = U;
22
23 - end
```

et même principe pour Willmore !

## Contraintes épaissies et $\Gamma$ -convergence

On **épaissit** les contraintes pour leur donner du volume



La fonction  $U_\epsilon^{int}(x) = q\left(\frac{1}{\epsilon}d_s(x, \Omega_\epsilon^{int})\right)$  est à valeurs dans  $[0, 1]$ .

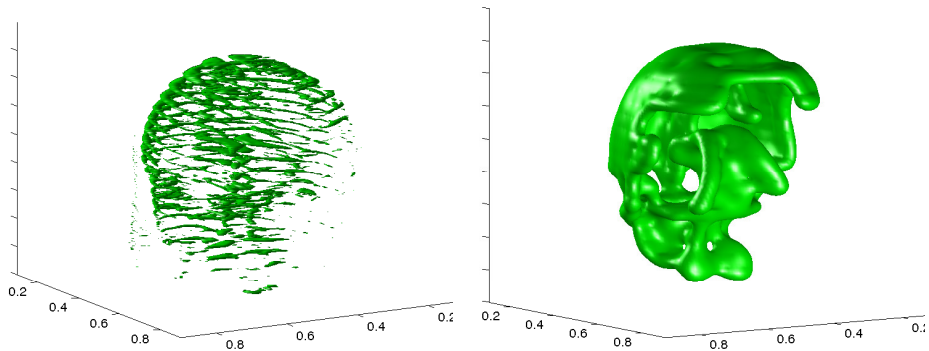
**Théorème** (Bretin, Dayrens, M.)

L'énergie  $P_{2,\epsilon} : u \mapsto \begin{cases} P_\epsilon(u) & \text{si } U_\epsilon^{int} \leq u \leq U_\epsilon^{ext} \\ +\infty & \text{sinon} \end{cases}$   **$\Gamma$ -converge** lorsque  $\epsilon \rightarrow 0$  vers

$F_2 : \mathbb{1}_E \mapsto \lambda P(E) + \text{terme de pénalisation des erreurs de contrainte}$

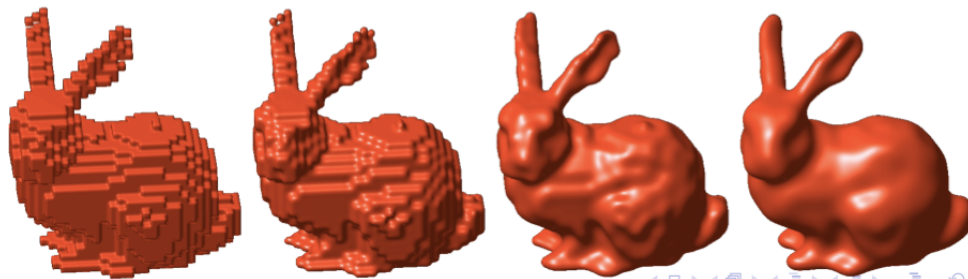
- Les ensembles minimaux de  $F_2$  **satisfont** les contraintes d'**inclusion-exclusion** (dans les cas raisonnables)
- La caractérisation de la  $\Gamma$ -limite pour l'énergie de Willmore est **délicate** en raison de son caractère **non local** et des **parties fantômes**.

## Reconstruction 3D avec l'énergie de Willmore

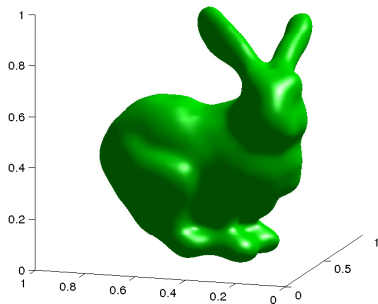
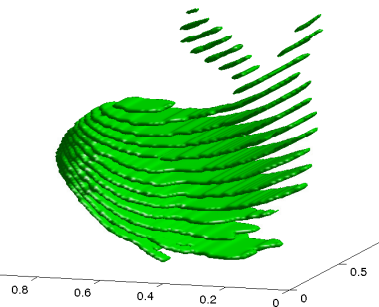


Reconstruction d'une image 3D de cerveau à partir de coupes réelles IRM

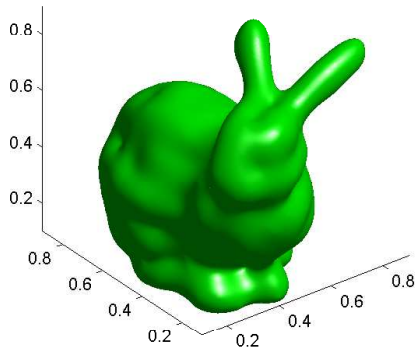
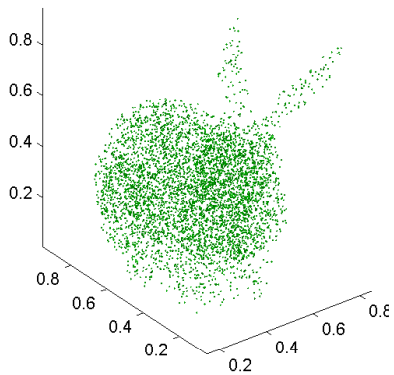
Adaptable à la régularisation de surfaces pixellisées



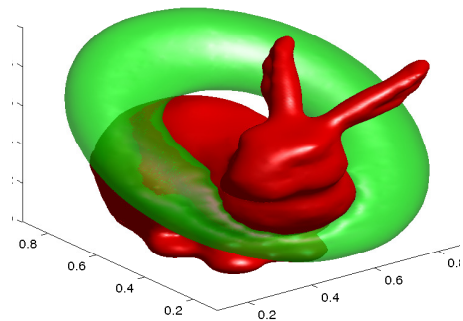
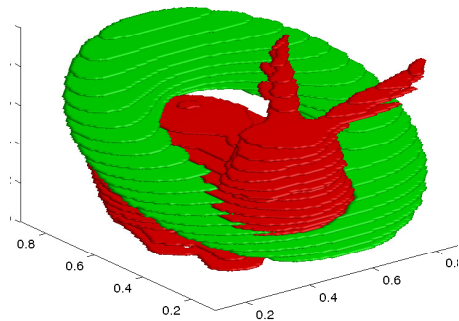
## Autres "coupes"



## Autres "coupes"



## Reconstruction conjointe de plusieurs domaines

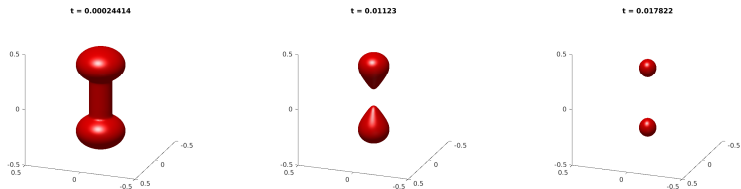


Deux domaines disjoints

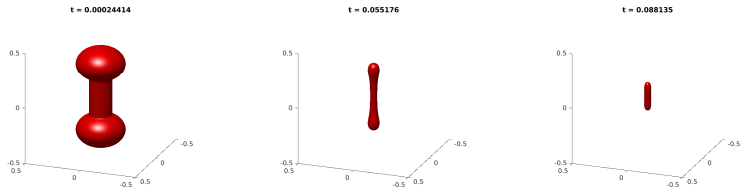
# Application 2 : flot de courbure moyenne avec auto-évitement (cf. exposé de C.-K. Huang)

Collaboration avec E. Bretin, C. K. Huang

## Flot classique



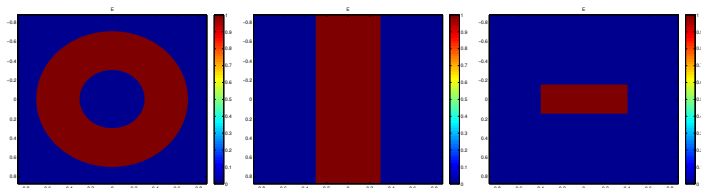
## Flot avec auto-évitement



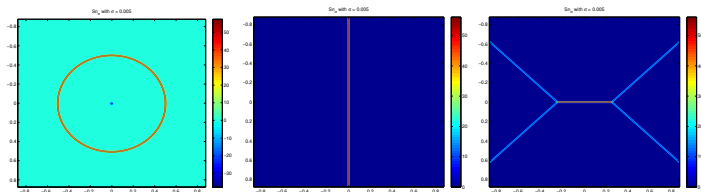
# Utilisation du squelette

**Squelette** = ensemble singulier de la fonction distance signée, i.e. là où elle n'est pas différentiable.

Des ensembles...



et leurs squelettes



## Localisation du squelette d'un ensemble $E$ en utilisant un terme de saut

- On considère le champ de normales associé à la fonction distance signée

$$n = \nabla \text{dist}(\cdot, E)$$

- Soit  $k$  un noyau régularisant, soit  $\sigma > 0$ ,  $k^\sigma = \frac{1}{\sigma^N} k\left(\frac{\cdot}{\sigma}\right)$  et

$$n^\sigma = k^\sigma * n$$

On définit le *terme de saut (régularisé)*  $Sn^\sigma$  de  $n$  comme

$$Sn^\sigma = \langle n^\sigma, (\nabla n^\sigma) n^\sigma \rangle = \sum_{1 \leq i, j \leq N} n_i^\sigma (\partial_j n_i^\sigma) n_j^\sigma$$

- $\lim_{\sigma \rightarrow 0} Sn^\sigma \rightarrow 0$  aux points où  $n$  est régulier.  
Que dire là où il ne l'est pas ? Est-ce que  $\lim_{\sigma \rightarrow 0} Sn^\sigma$  charge les singularités de  $n$ , donc son squelette ?

# Limite du terme de saut régularisé

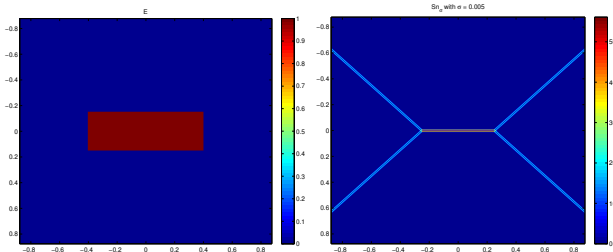
SBV = espace des fonctions spéciales à variation bornée

## Théorème (Bretin, Huang, M.)

Soit  $n \in SBV(\mathbb{R}^N, S^{N-1})$  tel que son ensemble de discontinuité  $\Sigma$  soit  $C^1$  et orienté par un vecteur normal unitaire  $\nu$ . Alors

$$Sn^\sigma \rightarrow \frac{1}{12} |[n]|^2 \langle [n], \nu \rangle \mathcal{H}^{N-1} \llcorner \Sigma \quad \text{quand } \sigma \rightarrow 0, \quad (1)$$

où  $[n]$  désigne le saut de  $n$ .



# Équation d'Allen-Cahn avec pénalisation topologique

- On considère l'équation d'Allen-Cahn avec un terme de réaction supplémentaire :

$$\partial_t u^\varepsilon = \Delta u^\varepsilon - \frac{G'(u^\varepsilon)}{\varepsilon^2} (1 + f_{u^\varepsilon}^\sigma),$$

où

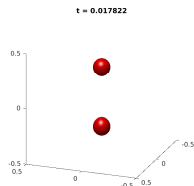
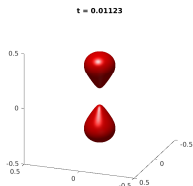
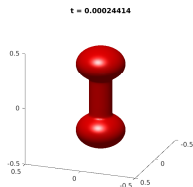
$$f_{u^\varepsilon}^\sigma = c(k^\sigma * |Sn_{u^\varepsilon}^\sigma|), \quad \text{et} \quad n_{u^\varepsilon}^\sigma = k^\sigma * \frac{\nabla u^\varepsilon}{|\nabla u^\varepsilon|}.$$

- Schéma numérique : on utilise une approche **quasi-statique**. On définit  $u^{n+1} = v(\cdot, \delta t)$  où  $v$  est une solution de

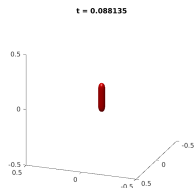
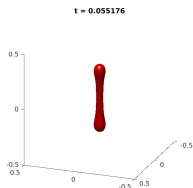
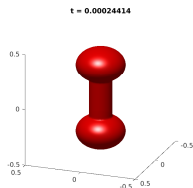
$$\begin{cases} \partial_t v & = \Delta v - \frac{G'(v)}{\varepsilon^2} (1 + f_{u^n}^\sigma) \\ v(\cdot, 0) & = u^n \end{cases}$$

# Exemple numérique : l'haltère

Sans terme de saut :



Avec terme de saut :



# Evolution de filaments

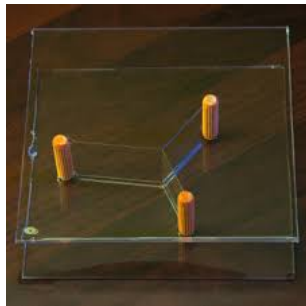
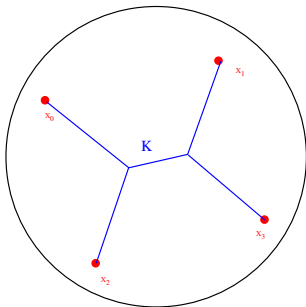
Vidéo: évolution d'un filament #1

Vidéo: évolution d'un filament #2

Vidéo: évolution d'un filament #3 (avec contrainte réduite)

# Application au problème de Steiner

Problème de Steiner : trouver, pour un ensemble donné de points  $x_0, \dots, x_N$ , un ensemble **compact connexe**  $K$  contenant tous les  $x_i$  et **de longueur minimale**



Certains modèles champ de phase ont été récemment introduits pour approcher des solutions des problèmes de Steiner ou de Plateau

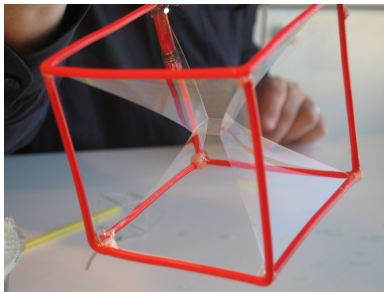
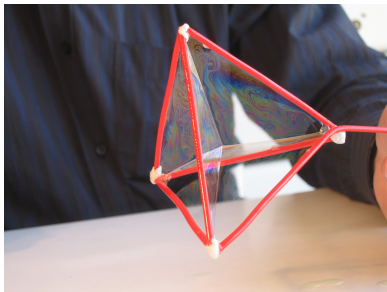
[Bonnivard-Lemenant-Santambrogio], [Chambolle-Ferrari-Merlet],  
[Bonafini-Orlandi-Oudet], [Bonnivard-Bretin-Lemenant]

# Ensembles de Steiner

Vidéo : ensemble de Steiner #1

Vidéo : ensemble de Steiner #2

# Films de savon : problème de Plateau



# Surfaces minimales

Vidéo: solution approchée de Plateau #1

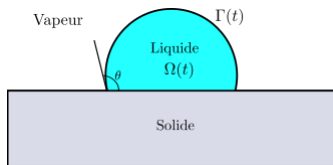
Vidéo: solution approchée de Plateau #2

Un résultat hybride...

Vidéo: un résultat hybride...

# Application 3 : diffusion de surface multiphasique (cf. exposé d'A. Sengers)

Collaboration avec E. Bretin, R. Denis, A. Sengers et G. Terii



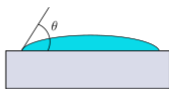
## Loi de Young

$$\cos(\theta) = \frac{\sigma_{SV} - \sigma_{LS}}{\sigma_{VL}}$$



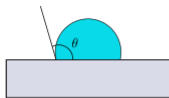
$$\theta \rightarrow 0^\circ$$

Mouillage parfait



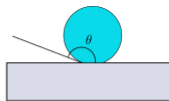
$$0 < \theta < 90^\circ$$

Matériau hydrophile



$$90 < \theta < 150^\circ$$

Matériau hydrophobe



$$\theta > 150^\circ$$

Matériau  
superhydrophobe

# Loi d'évolution. Formulation biphasique

## Diffusion de surface

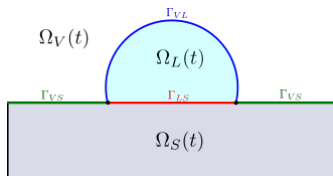
$$V(t) = \Delta_{\Gamma(t)} H(t)$$

- Minimisation du périmètre
- Flot de gradient  $H^{-1}$  du périmètre
- Conservation locale de la masse

Comment éviter de traiter explicitement l'angle de contact ?

## Loi d'évolution. Formulation multiphase

$$\begin{aligned} E &= \sigma_{SV} \text{Aire}(\Gamma_{SV}) + \sigma_{LS} \text{Aire}(\Gamma_{LS}) + \sigma_{VL} \text{Aire}(\Gamma_{VL}) \\ &= \frac{1}{2} \sum_{i,j=1}^L \sigma_{ij} \text{Aire}(\Gamma_{ij}) \quad \text{Cas général à } L \text{ phases} \end{aligned}$$



## Diffusion de surface. Version multiphase

$$\frac{1}{\nu_{ij}} V_{ij}(t) = \sigma_{ij} \Delta_{\Gamma_{ij}(t)} H_{ij}(t)$$

## Nouveau modèle de Cahn-Hilliard d'ordre 2

Dérivation du flot de gradient  $H^{-1}$  selon la structure induite par

$$\langle f, g \rangle_{H_0^{-1}} = \int M \nabla(Nf) \cdot \nabla(Ng) dx$$

où l'on introduit une dépendance en  $u$  dans les mobilités  $M$  et  $N$ .

### Système de Cahn-Hilliard avec deux mobilités

$$(\mathbf{NMN-CH}) : \begin{cases} \varepsilon^2 \partial_t u = N(u) \operatorname{div} (M(u) \nabla (N(u) \mu)) \\ \mu = W'(u) - \varepsilon^2 \Delta u \end{cases}$$

$$\text{avec } W(s) = \frac{s^2(1-s)^2}{2}, \quad M(s) = s^2(1-s)^2, \quad N(s) = \frac{1}{\sqrt{M(s)}}.$$

### Propriétés du modèle

- Il est variationnel
- Il conserve la masse

# Comportement asymptotique

- Il est d'ordre 2 !

## Propriétés du modèle (NMN-CH)

$$\begin{cases} u_\varepsilon(x, t) = q \left( \frac{d(x, \Omega(t))}{\varepsilon} \right) + \mathcal{O}(\varepsilon^2) \\ V_\varepsilon = \Delta_{\Gamma(t)} H(t) + \mathcal{O}(\varepsilon) \\ Vol(\Omega(t)) = Vol(\Omega(0)) + \mathcal{O}(\varepsilon^2) \end{cases}$$

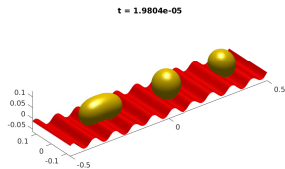
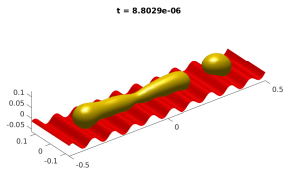
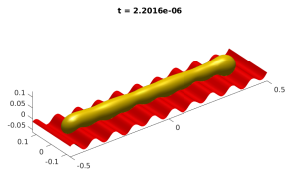
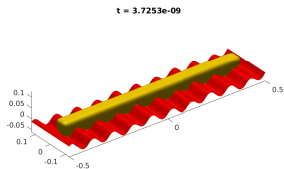
# Extensions et schéma numérique

- Extension au multiphase (cf. exposé d'A. Sengers)
- Schéma numérique efficace basé sur un splitting convexe-concave

# Application au mouillage

## Avantage de la méthode

Pas besoin de gérer l'angle de contact avec des conditions aux bords.

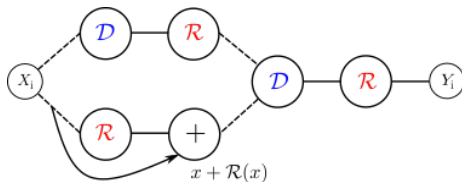


# Utilisation de réseaux de neurones (cf. exposé de G. Terii)

Collaboration avec E. Bretin, R. Denis et G. Terii

Objectifs :

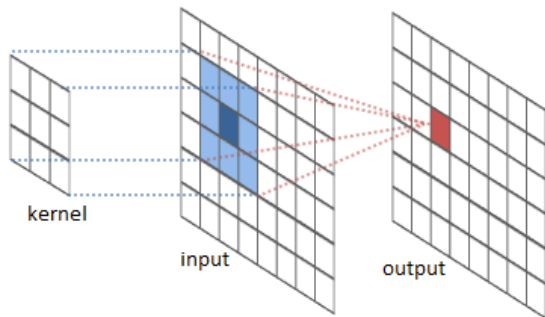
- Obtenir une méthode numérique plus rapide et plus précise.
- Traiter des cas pour lesquels la méthode champ de phase n'est pas adaptée (surfaces non orientées, surfaces à bord, ensembles de codimension  $\geq 2$ )
- Apprendre un flot géométrique et ses propriétés à partir d'observations



## Approximation par réseau de neurones : construction

On s'inspire du splitting de la méthode champ de phase et on construit un réseau  $S$  obtenu comme composition d'un réseau convolutif ( $\mathcal{D}$ ) et d'un perceptron multicouche ( $\mathcal{R}$ ) utilisant des exponentielles  $s \mapsto e^{-s^2}$ .

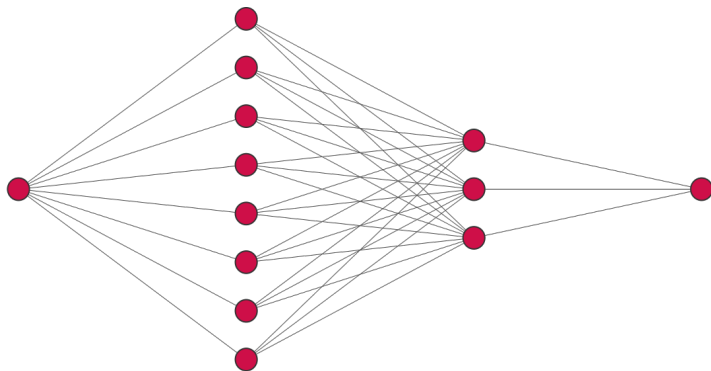
Réseau de Convolution:  $u^{n+1} = \mathcal{D}u^n = K * u^n$ .



## Approximation par réseau de neurones : construction

On s'inspire du splitting de la méthode champ de phase et on construit un réseau  $S$  obtenu comme composition d'un réseau convolutif ( $\mathcal{D}$ ) et d'un perceptron multicouche ( $\mathcal{R}$ ) utilisant des exponentielles  $s \mapsto e^{-s^2}$ .

Perceptron multicouche:  $u^{n+1} = \mathcal{R}u^n$ .



Input Layer  $\in \mathbb{R}^1$

Hidden Layer  $\in \mathbb{R}^8$

Hidden Layer  $\in \mathbb{R}^3$

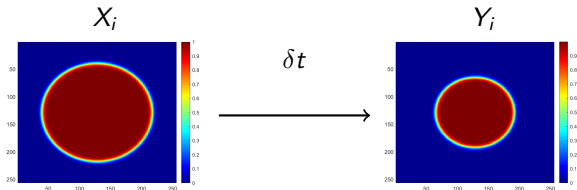
Output Layer  $\in \mathbb{R}^1$

# Base de données et apprentissage

Données labellisées: On fixe  $\varepsilon$  et  $\delta t$ .

$$(X_i, Y_i) = \left( q \left( \frac{d(\cdot, \Omega_i(0))}{\varepsilon} \right), q \left( \frac{d(\cdot, \Omega_i(\delta t))}{\varepsilon} \right) \right), \quad i = 1, \dots, N$$

où  $\Omega_i(t)$  est un cercle de rayon  $R_i(t) = \sqrt{r_i - 2t}$ .



Apprentissage sur le risque empirique: Pour un réseau  $S_\theta$  paramétré par  $\theta$ ,

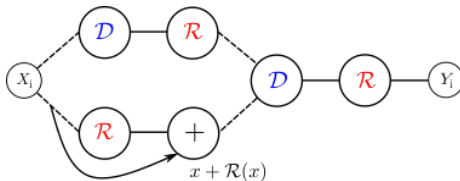
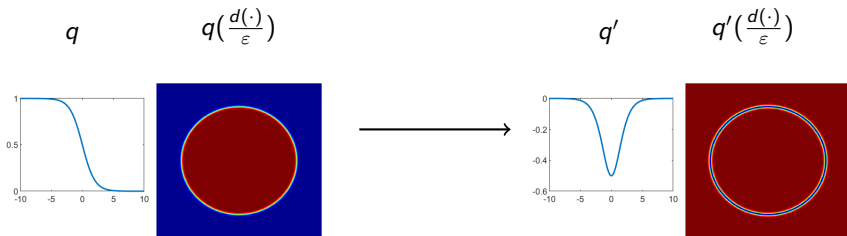
$$\inf_{\theta} \frac{1}{N} \sum_{i=1}^N \|S_\theta(X_i) - Y_i\|_{L^2}^2$$

Implémentation à l'aide de la bibliothèque Pytorch avec  $N = 100$

Schéma numérique **rapide** et **plus précis** que le schéma champ de phase

# Extension aux surfaces à bord, aux surfaces non orientables

On utilise le même réseau mais on **change la base d'entraînement**.



## Exemples numériques

Il **n'existe pas** de méthode champ de phase permettant d'approcher **correctement** l'évolution de  $q'$  : la généralisation que permet l'approche par réseau est donc **particulièrement intéressante**.

Partition 2D (sans apprendre les points triples !)

Surface minimale

Ruban de Möbius

# Perspectives

- Qu'a-t-on appris ? Que représentent les  $\mathcal{D}$  et  $\mathcal{R}$  après apprentissage ?
- Peut-on **prouver des résultats d'approximation** ?
- **Autres flots** : Willmore, diffusion de surface, avec ou sans anisotropie, etc.
- Peut-on éviter les réseaux **spécialisés** ? Y a-t-il des réseaux "généralistes" ?
- Apprentissage de **flots réels** à partir de séquences d'images (exemple : développement du cerveau, propagation de fronts, etc.)